



Министерство науки и высшего образования Российской Федерации
Федеральное государственное бюджетное образовательное учреждение
высшего образования
«Московский государственный технический университет
имени Н.Э. Баумана
(национальный исследовательский университет)»
(МГТУ им. Н.Э. Баумана)

ФАКУЛЬТЕТ «Информатика и системы управления»

КАФЕДРА «Программное обеспечение ЭВМ и информационные технологии»

ОТЧЕТ

к лабораторной работе №4

По курсу: «Моделирование»

Студент Жигалкин Д.Р.

Группа ИУ7-65Б

Преподаватель Градов В.М.

Москва, 2021 г.

Цель работы: получение навыков разработки алгоритмов решения смешанной краевой задачи при реализации моделей, построенных на квазилинейном уравнении параболического типа.

Исходные данные

1. Задана математическая модель.

Уравнение для функции $T(x, t)$

$$c(T) \frac{\partial T}{\partial t} = \frac{\partial}{\partial x} \left(k(T) \frac{\partial T}{\partial x} \right) - \frac{2}{R} \alpha(x) T + \frac{2T_0}{R} \alpha(x) \quad (1)$$

Краевые условия

$$\begin{cases} t = 0, & T(x, 0) = T_0, \\ x = 0, & -k(T(0)) \frac{\partial T}{\partial x} = F_0, \\ x = l, & -k(T(l)) \frac{\partial T}{\partial x} = \alpha_N (T(l) - T_0) \end{cases}$$

В обозначениях уравнения лекции

$$p(x) = \frac{2}{R} \alpha(x) \quad f(u) \equiv f(x) = \frac{2T_0}{R} \alpha(x)$$

2. Разностная схема с разностным краевым условием при $x = 0$ получена в лекции и может быть использована в данной работе. Самостоятельно надо получить интегро-интерполяционным методом разностный аналог краевого условия при $x=1$, точно так же, как это сделано при $x=0$. Для этого надо проинтегрировать на отрезке $[X_{N-\frac{1}{2}}, X_N]$ выписанное выше уравнение (1) и учесть, что поток $F_N = \alpha_N (\widehat{y}_N - T_0)$, а $F_{N-\frac{1}{2}} = \widehat{X_{N-\frac{1}{2}}} \frac{\widehat{y_{N-1}} - \widehat{y}_N}{h}$.

3. Значения параметров для отладки (все размерности согласованы)

$$k(T) = a_1 (b_1 + c_1 T^{m_1}), \quad \text{Вт/см К},$$

$$c(T) = a_2 + b_2 T^{m_2} - \frac{c_2}{T^2}, \quad \text{Дж/см}^3 \text{К}.$$

$$a_1=0.0134, \quad b_1=1, \quad c_1=4.35 \cdot 10^{-4}, \quad m_1=1,$$

$$a_2=2.049, \quad b_2=0.563 \cdot 10^{-3}, \quad c_2=0.528 \cdot 10^5, \quad m_2=1.$$

$$\alpha(x) = \frac{c}{x-d},$$

$$\alpha_0 = 0.05 \text{ Вт/см}^2 \text{ К},$$

$$\alpha_N = 0.01 \text{ Вт/см}^2 \text{ К},$$

$$l = 10 \text{ см},$$

$$T_0 = 300 \text{ К},$$

$$R = 0.5 \text{ см},$$

$$F(t) = 50 \text{ Вт/см}^2 \text{ (для отладки принять постоянным).}$$

Физическое содержание задачи

1. Сформулированная в данной работе математическая модель описывает **нестационарное** температурное поле $T(x, t)$, зависящее от координаты x и меняющееся во времени.

2. Свойства материала стержня привязаны к температуре, т.е. теплоемкость и коэффициент теплопроводности $c(T), k(T)$ зависят от T .

3. При $x = 0$ цилиндр нагружается тепловым потоком $F(t)$, в общем случае зависящим от времени.

Если в настоящей работе задать поток постоянным, т.е. $F(t) = \text{const}$, то будет происходить формирование температурного поля от начальной температуры T_0 до некоторого установившегося (стационарного) распределения $T(x, t)$. Это поле в дальнейшем с течением времени меняться не будет. Это полезный факт для тестирования программы.

Если после разогрева стержня положить поток $F(t) = 0$, то будет происходить остывание, пока температура не выровняется по всей длине и не станет равной T_0 .

При произвольной зависимости потока $F(t)$ от времени температурное поле будет как-то сложным образом отслеживать поток.

Замечание. Варьируя параметры задачи, следует обращать внимание на то, что решения, в которых температура превышает примерно 2000К, физического смысла не имеют и практического интереса не представляют.

Результаты работы

1. Представить разностный аналог краевого условия при $x=1$ и его краткий вывод интегро-интерполяционным методом.

Разностный аналог краевого условия при $x = 1$ получается путем интегрирования уравнения

$$c(T) \frac{\partial T}{\partial t} = \frac{\partial}{\partial x} \left(k(T) \frac{\partial T}{\partial x} \right) - \frac{2}{R} \alpha(x) T + \frac{2T_0}{R} \alpha(x)$$

на отрезке $[X_{N-\frac{1}{2}}, X_N]$, с учетом $F_N = \alpha_N(\widehat{y}_N - T_0)$, $F_{N-\frac{1}{2}} = \widehat{X_{N-\frac{1}{2}}} \frac{\widehat{y_{N-1}} - \widehat{y_N}}{h}$.

Введем следующее обозначение:

$$F = -k(u) \frac{\partial T}{\partial x}$$

Проинтегрируем уравнение:

$$\begin{aligned} \int_{X_{N-\frac{1}{2}}}^{X_N} dx \int_{t_m}^{t_{m+1}} c(t) \frac{\partial T}{\partial t} dt = \\ = - \int_{t_m}^{t_{m+1}} dt \int_{X_{N-\frac{1}{2}}}^{X_N} \frac{\partial F}{\partial x} dx - \int_{X_{N-\frac{1}{2}}}^{X_N} dx \int_{t_m}^{t_{m+1}} p(x) T dt \\ + \int_{X_{N-\frac{1}{2}}}^{X_N} dx \int_{t_m}^{t_{m+1}} f(x) dt \end{aligned}$$

Интегрируя аналогично разностному аналогу краевого условия при $x = 0$ получим, учтя $F_N = \alpha_N(\widehat{y}_N - T_0)$, $F_{N-\frac{1}{2}} = \widehat{X}_{N-\frac{1}{2}} \frac{\widehat{y}_{N-1} - \widehat{y}_N}{h}$:

$$\begin{aligned} \frac{h}{4} \left(\widehat{c}_N(\widehat{y}_N - y_N) - \widehat{c}_{N-\frac{1}{2}} \left(\frac{\widehat{y}_N + \widehat{y}_{N-1}}{2} - \frac{y_N + y_{N+1}}{2} \right) \right) = \\ = -\tau \left(\alpha_N(\widehat{y}_N - T_0) - \widehat{X}_N \frac{\widehat{y}_N + \widehat{y}_{N-1}}{h} \right) \\ - \tau \frac{h}{4} \left(p_N \widehat{y}_N - p_{N-\frac{1}{2}} \frac{\widehat{y}_N + \widehat{y}_{N-1}}{2} + (\widehat{f}_N - \widehat{f}_{N-\frac{1}{2}}) \right) \end{aligned}$$

Приведем уравнение к каноническому виду систем с трехдиагональной матрицей.

$$\begin{aligned} \left(\frac{h}{4} \widehat{c}_N + \frac{h}{8} \widehat{c}_{N-\frac{1}{2}} + \tau \alpha_N + \frac{\tau}{h} \widehat{X}_{N-\frac{1}{2}} + \frac{h}{4} \tau p_N + \frac{h}{8} \tau p_{N-\frac{1}{2}} \right) \widehat{y}_N \\ + \left(\frac{h}{8} \widehat{c}_{N-\frac{1}{2}} - \frac{\tau}{h} \widehat{X}_{N-\frac{1}{2}} + \frac{h}{8} \tau p_{N-\frac{1}{2}} \right) \widehat{y}_{N-1} \\ = \alpha_N \tau T_0 + \frac{h}{4} \widehat{c}_N y_N + \frac{h}{8} \widehat{c}_{N-\frac{1}{2}} (y_N + y_{N-1}) + \frac{h}{4} \tau (\widehat{f}_N + \widehat{f}_{N-\frac{1}{2}}) \end{aligned}$$

Примем простую аппроксимацию:

$$p_{N-\frac{1}{2}} = \frac{p_{N-1} + p_N}{2}$$

В итоге система примет канонический вид:

$$\begin{cases} \widehat{K}_0 \widehat{y}_0 + \widehat{M}_0 \widehat{y}_1 = \widehat{P}_0 \\ \widehat{A}_n \widehat{y}_{n-1} - \widehat{B}_n \widehat{y}_n + \widehat{D}_n \widehat{y}_{n+1} = -\widehat{F}_n \\ \widehat{K}_N \widehat{y}_N + \widehat{M}_{N-1} \widehat{y}_{N-1} = \widehat{P}_N \end{cases}$$

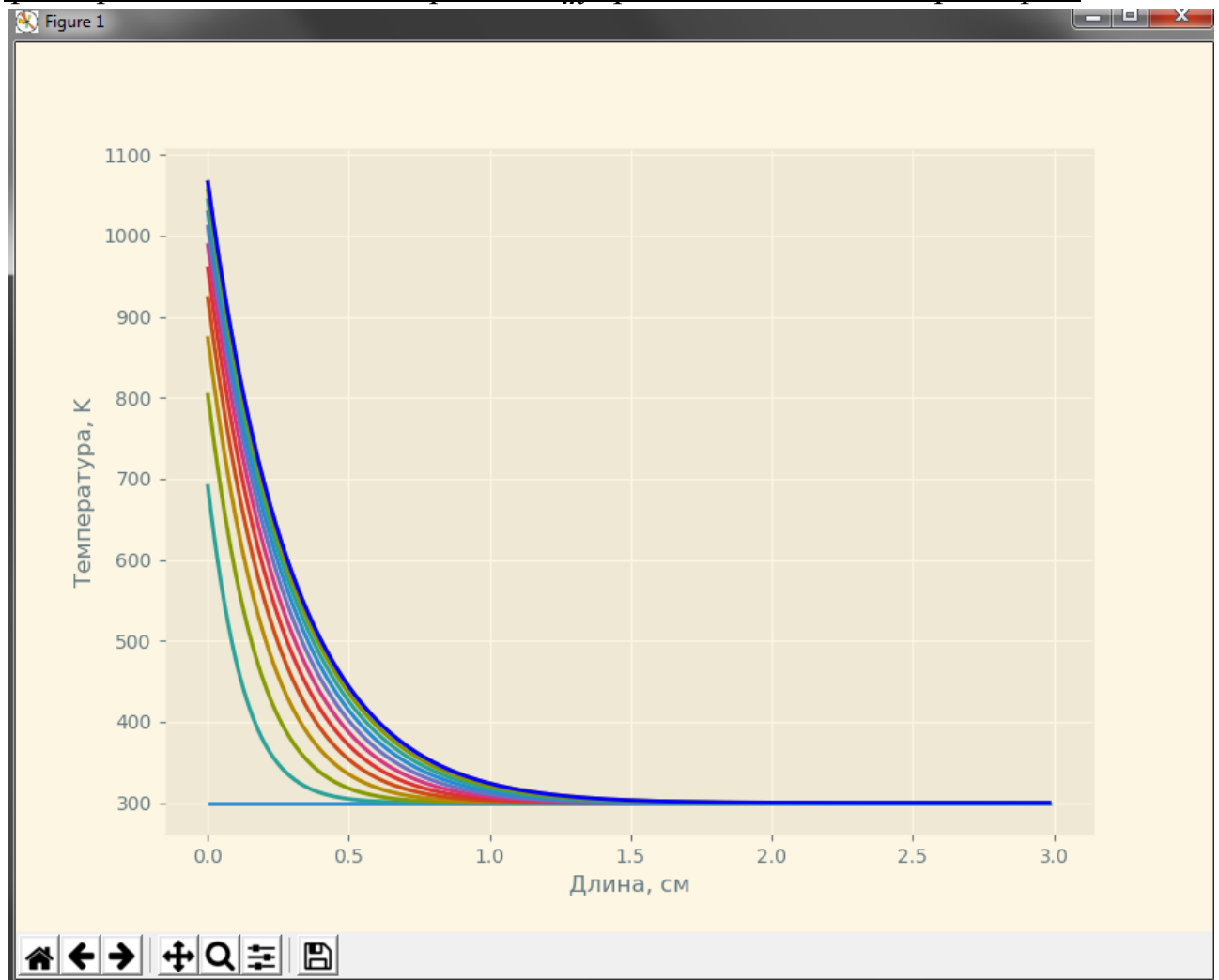
Систему выше можно решить методом итераций.

Пусть s – номер итерации.

$$\widehat{A}_n^{s-1} \widehat{y}_{n+1}^s - \widehat{B}_n^{s-1} \widehat{y}_n^s + \widehat{D}_n^{s-1} \widehat{y}_{n-1}^s = -\widehat{F}_n^{s-1}$$

В качестве начального приближения \widehat{y}_n^0 задается сошедшееся решение \widehat{y}_n с предыдущего шага $t = t_m$, т.е. $\widehat{y}_n^0 = \widehat{y}_n$

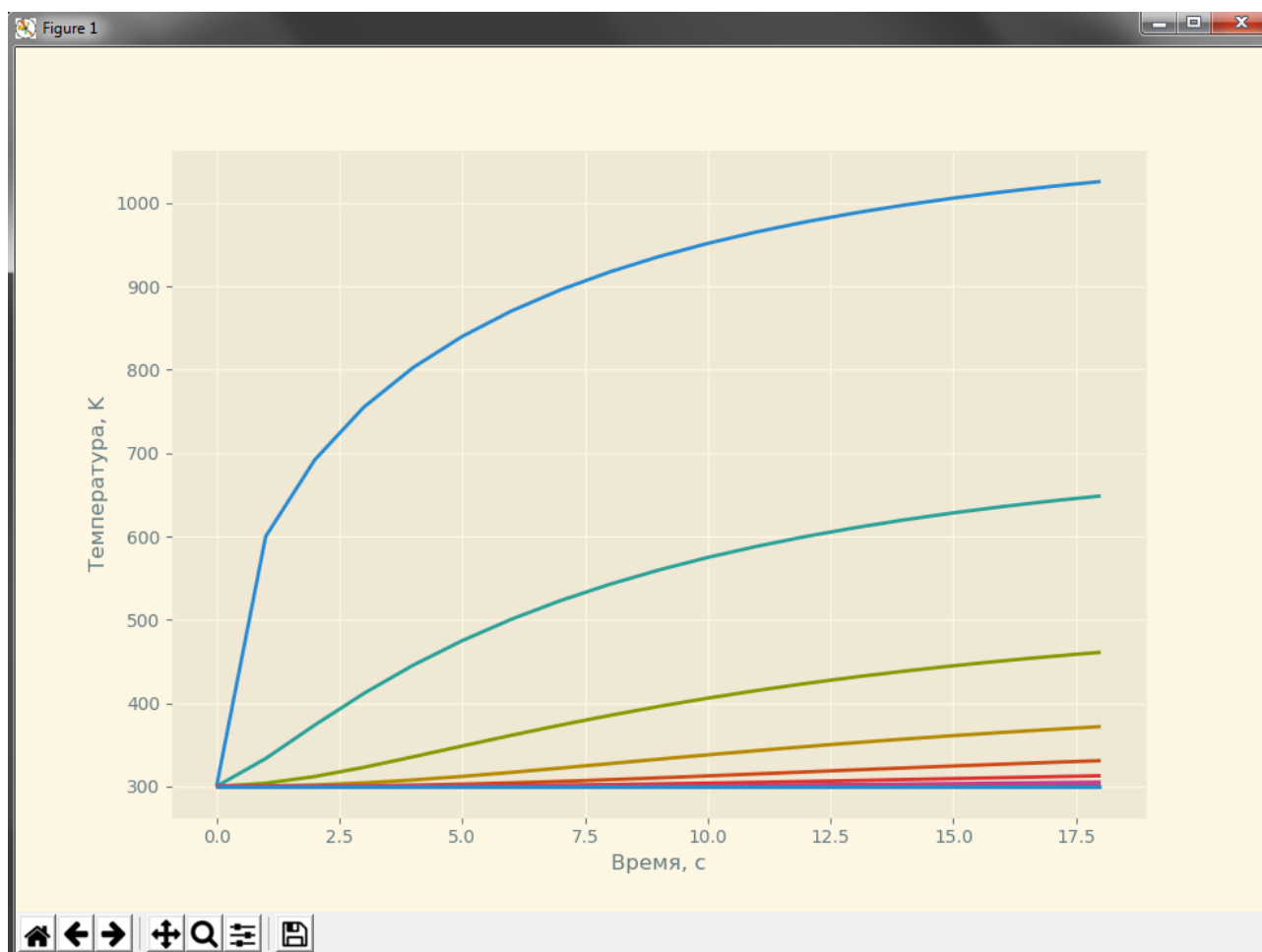
2. График зависимости температуры $T(x, t_m)$ от координаты x при нескольких фиксированных значениях времени t_m при заданных выше параметрах.



На рисунке представлены графики зависимости температуры от координаты при фиксированных $t = 0, 2, 4, \dots$

Последняя – синяя кривая соответствует установившемуся режиму, когда поле перестает меняться с точностью $1e-3$.

3. График зависимости $T(x_n, t)$ при нескольких фиксированных значениях координаты x_n . Обязательно представить случай $n=0$, т.е. $x = x_0 = 0$.



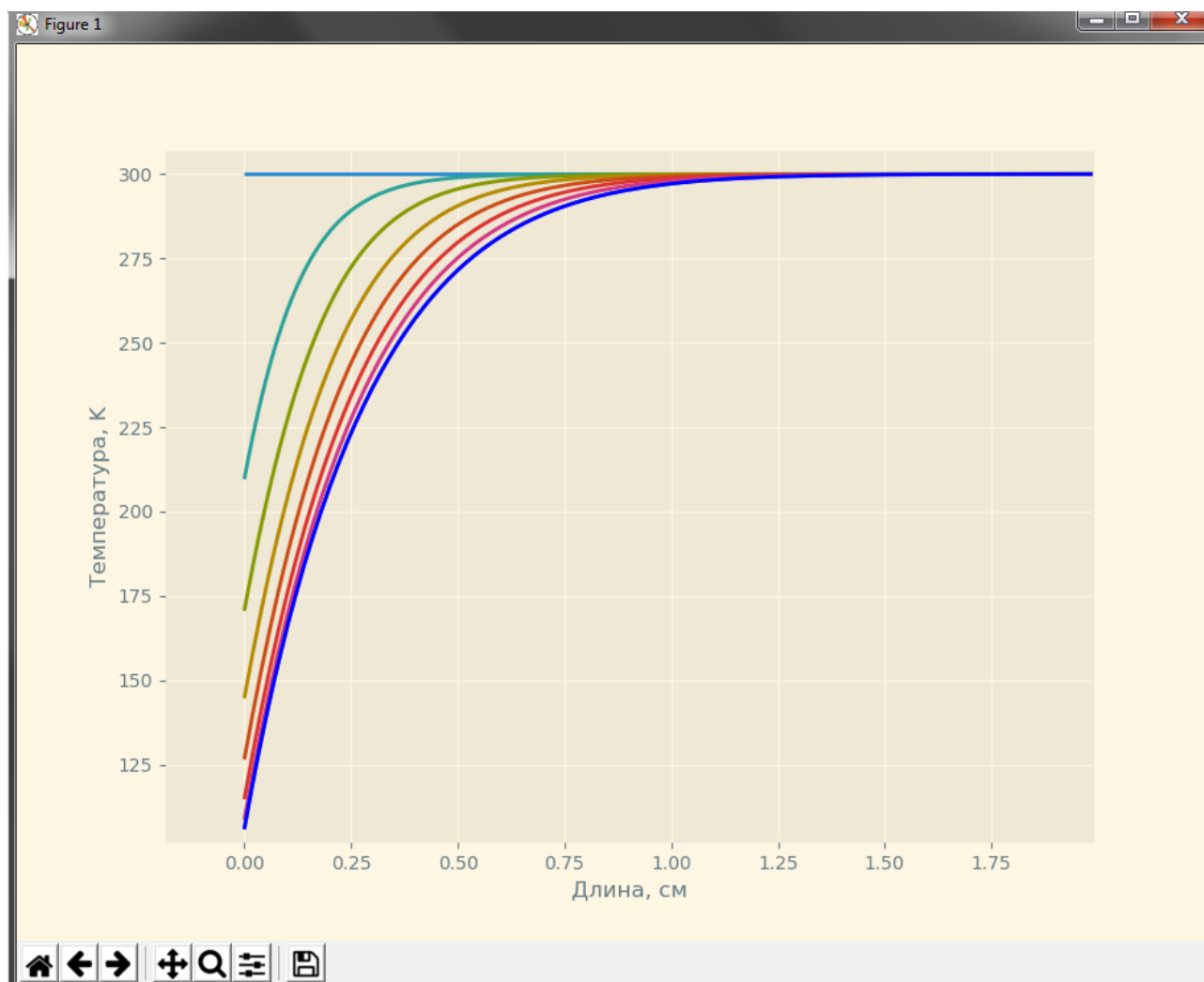
На рисунке представлены графики зависимости температуры от времени при фиксированных $x = 0, 0.2, 0.4, \dots, 3.2$

Вопросы при защите лабораторной работы

1. Приведите результаты тестирования программы (графики, общие соображения, качественный анализ).

Основываясь на физическом смысле задачи, можно принять $F_0 = -10$

При отрицательном тепловом потоке слева должен идти съём тепла.



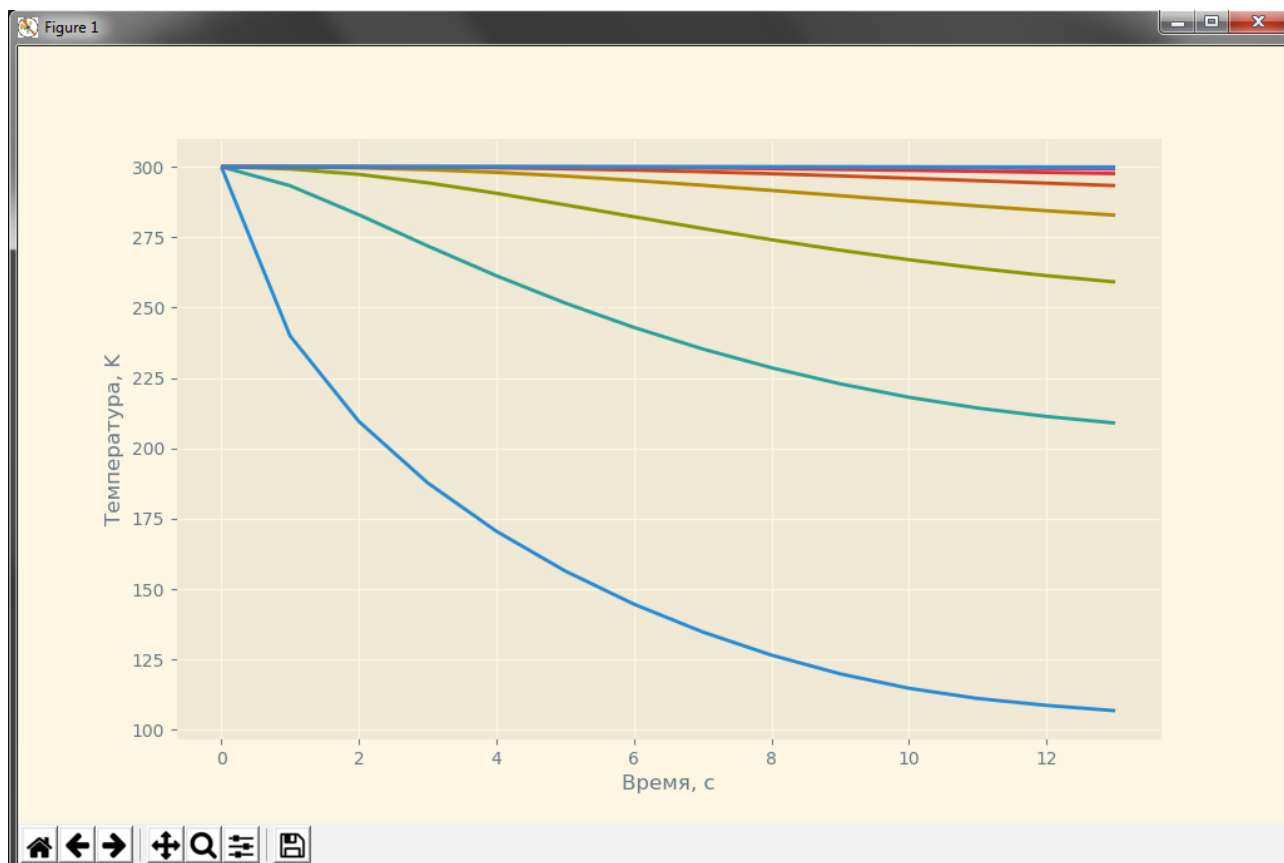
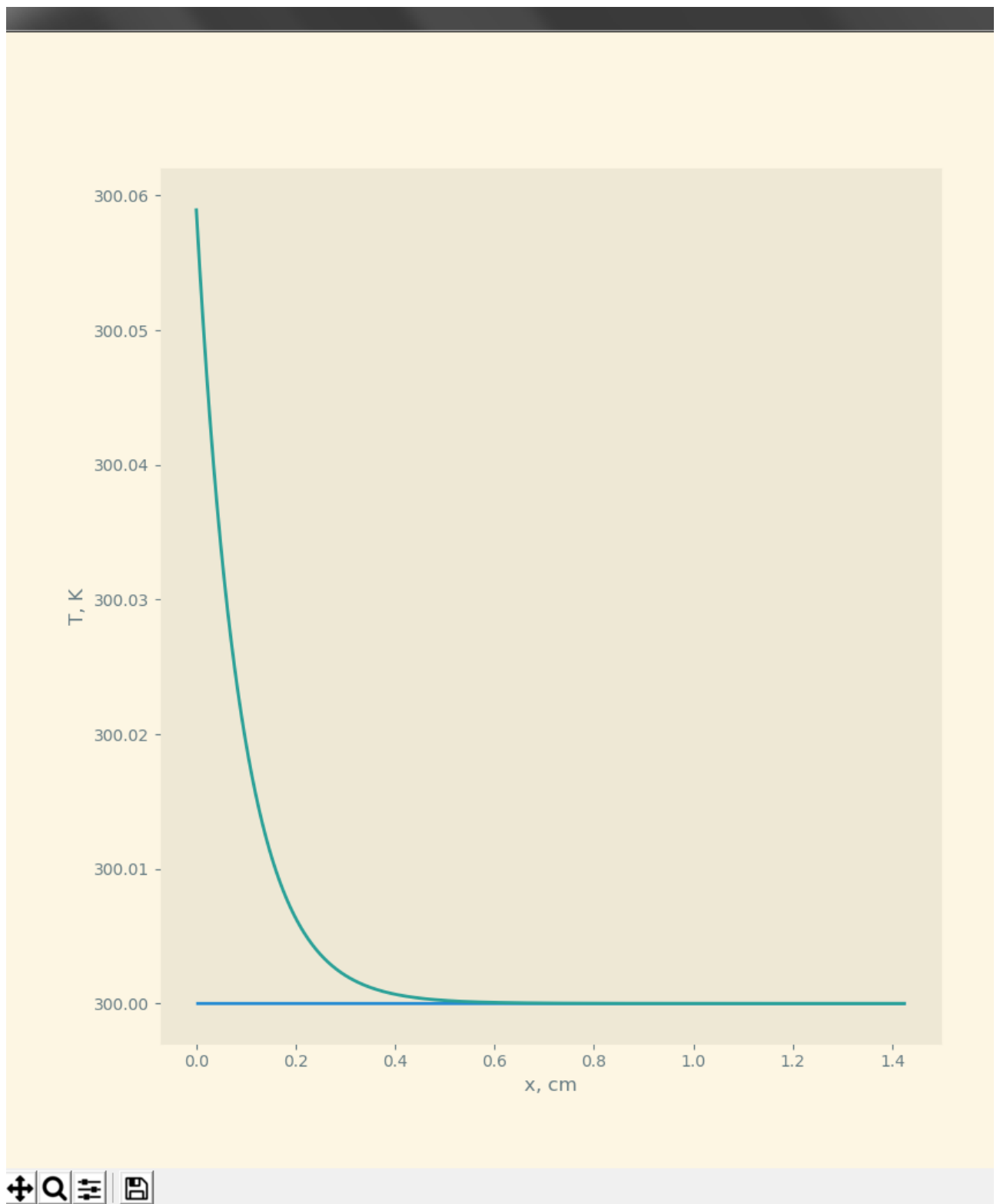


График при $F_0 = 0$.



Тепловой поток отсутствует, причин для нагрева нет, температура стержня должна быть равна температуре окружающей среды T_0 . На графике видна погрешность.

Листинг

```
def k(T):
    return a1 * (b1 + c1 * T**m1)

def c(T):
    return a2 + b2 * T**m2 - (c2 / T**2)

def alpha(x):
    d = (alphaN*1) / (alphaN-alpha0)
    c = - alpha0 * d
    return c / (x-d)

def p(x):
    return (2/R) * alpha(x)

def f(x):
    return (2*T0/R) * alpha(x)

def A(T):
    return t/h * approc_minus_half(k, T, t)

def D(T):
    return t/h * approc_plus_half(k, T, t)

def B(x, T):
    return A(T) + D(T) + h*c(T) + h*t*p(x)

def F(x, T):
    return h*t*f(x) + T*h*c(T)

def approc_plus_half(func, n, step):
    return (func(n) + func(n + step)) / 2

def approc_minus_half(func, n, step):
    return (func(n) + func(n - step)) / 2

def left_boundary_condition(T_prev):
    T_prev_0 = T_prev[0]
    c_plus = approc_plus_half(c, T_prev_0, t)
    k_plus = approc_plus_half(k, T_prev_0, t)
    c0 = c(T_prev_0)

    K0 = h/8 * c_plus + h/4 * c0 + t/h * k_plus + \
        t * h/8 * p(h/2) + t * h/4 * p(0)

    M0 = h/8 * c_plus - t/h * k_plus + t * h/8 * p(h/2)

    P0 = h/8 * c_plus * (T_prev_0 + T_prev[1]) + \
        h/4 * c0 * T_prev_0 + F0 * t + t * h/8 * (3 * f(0) + f(h))

    return K0, M0, P0

def right_boundary_condition(T_prev):
    T_prev_N = T_prev[-1]
    c_minus = approc_minus_half(c, T_prev_N, t)
    k_minus = approc_minus_half(k, T_prev_N, t)
    cN = c(T_prev_N)

    KN = h/8 * c_minus + h/4 * cN + t/h * k_minus + t * alphaN + \
```

```

    t * h/8* p(1 - h/2)+ t * h/4* p(1)

MN = h/8* c_minus - t/h * k_minus + t * h/8* p(1 - h/2)

PN = h/8* c_minus *(T_prev_N + T_prev[-2])+ \
    h/4* cN * T_prev_N + t * alphaN * T0 + t * h/4*(f(1)+ f(1 - h/2))

return KN, MN, PN

def get_T_new(T_prev):
    K0, M0, P0 = left_boundary_condition(T_prev)
    KN, MN, PN = right_boundary_condition(T_prev)

    eps =[0, -M0 / K0]
    eta =[0, P0 / K0]

    x = h
    n = 1

    while(x + h < 1):
        T_prev_n = T_prev[n]
        denominator =(B(x, T_prev_n)- A(T_prev_n)* eps[n])

        next_eps = D(T_prev_n)/ denominator
        next_eta =(F(x, T_prev_n)+ A(T_prev_n)* eta[n])/ denominator

        eps.append(next_eps)
        eta.append(next_eta)

        n +=1
        x += h

    T_new =[0]*(n +1)
    T_new[n]=(PN - MN*eta[n])/(KN + MN*eps[n])

for i inrange(n -1,-1,-1):
    T_new[i]= eps[i+1]* T_new[i+1]+ eta[i+1]

return T_new

```

```

def simple_iter():
    step1 =int(1 / h)
    T =[T0]*(step1 +1)
    T_new =[0]*(step1 +1)
    ti =0
    res =[]
    res.append(T)
    lent =len(T)

    while True:
        T_prev = T
        while True:
            T_new = get_T_new(T_prev)
            cur_max = fabs((T[0]- T_new[0]) / T_new[0])
            for i inrange(lent):
                d = fabs(T[i]- T_new[i]) / T_new[i]
                if d > cur_max:
                    cur_max = d

            if cur_max < 1:
                break
            T_prev = T_new

        res.append(T_new)
        ti += t

        flag_eps_ok =True
        for i inrange(lent):
            if fabs((T[i]- T_new[i]) / T_new[i])>1e-2:
                flag_eps_ok =False
        if flag_eps_ok:
            break
        T = T_new

    return res, ti

if __name__ == "__main__":
    a1 =0.0134
    b1 =1
    c1 =4.35e-4
    m1 =1
    a2 =2.049
    b2 =0.563e-3
    c2 =0.528e5
    m2 =1

    alpha0 =0.05
    alphaN =0.01
    l =10
    T0 =300
    R =0.5
    F0 =50

    h =1e-3
    t =1

    res, ti = simple_iter()

    lenres =len(res)
    last =int(len(res[0])/7)
    res_cuttet=[i[0:last:]for i in res]

```

```

fig, (first_graph, second_graph) = plt.subplots(
    nrows=1, ncols=2,
    figsize=(8, 4))

# Первая см - К
x = list(np.arange(0, l, h))
x_cutted = x[:last:]
step = 3
for i in res_cutted[::step]:
    first_graph.plot(x_cutted, i)
    first_graph.plot(x_cutted, res_cutted[-1])
    first_graph.set_xlabel("x, cm")
    first_graph.set_ylabel("T, K")
    first_graph.grid()

# Вторая sec - К
te = list(range(0, ti, t))
for i in np.arange(0, l/3, 0.2):
    line = [j[int(i/h)] for j in res]
    second_graph.plot(te, line[:-1])
    second_graph.set_xlabel("t, sec")
    second_graph.set_ylabel("T, K")
    second_graph.grid()
fig.show()

```